

Список литературы

- Доминик К. Пародонтопатии.— Варшава : Пол. гос. мед. изд-во, 1967.— 379 с.
- Матвеева А. И. Поляграфическое исследование напряжения кислорода в тканях пародонта в норме и при пародонтозе: Автореф. дис. ... канд. мед. наук.— М., 1969.— 18 с.
- Новик О. И. Пародонтоз.— Киев : Здоров'я, 1964.— 323 с.
- Петрович Ю. А., Подорожная Р. П. Тканевое дыхание десны при нарушении ее иннервации.— Пробл. терапевт. стоматологии, 1967, вып. 2. с. 107—109.
- Шольц К. Ф., Соловьев Н. А. Энергозависимый «ионофорный» транспорт ионов в митохондриях.— В кн.: Митохондрии. Аккумуляция энергии и регуляция ферментативных процессов. М. : Наука, 1977, с. 88—100.
- Юнусов А. Ю. Высокая температура и водно-солевой обмен.— Ташкент : Фан, 1969.— 176 с.

Лаборатория биохимии и биофизики
Одесского института стоматологии

Поступила в редакцию
30.12.80

Отсутствие ионогенности стенки изолированной вательной активности 15 мин. Так, при отсырь скоростью транспортные 15 мин на 13 %, снижение активности ках эпителия. Следует К-АТФазы не только залась на 39,2 % (см.

УДК 612.015.1:612.357.71

М. С. Яременко, О. Н. Харламова

УЧАСТИЕ HCO_3 -АТФАЗЫ В МЕХАНИЗМЕ ТРАНСПОРТА ИЗОТОНИЧЕСКОЙ ЖИДКОСТИ ЭПИТЕЛИЕМ ЖЕЛЧНОГО ПУЗЫРЯ КРОЛИКА

Известно, что эпителий, выстилающий в один слой клеток внутреннюю поверхность стенки желчного пузыря, осуществляет активный транспорт ионов натрия вместе с хлором и водой в виде изотонического солевого раствора из полости органа наружу. Показано, что присутствие в транспортируемом растворе ионов HCO_3 резко активирует этот процесс [3, 4]. Имеются данные, что ионы HCO_3 участвуют также в образовании макроэргических соединений [4] и активации HCO_3 -АТФазы [2, 8], которая по-видимому, входит в систему активного транспорта изотонической жидкости через эпителиальные ткани. Представляло интерес изучить влияние ионов HCO_3 одновременно на всасывательную функцию желчного пузыря и активность Na, K-АТФазы и HCO_3 -АТФазы эпителиальных клеток.

Методика исследований

Изолированные желчные пузыри кролика увязывали на тонкой полистиленовой канюле, введенной в пузырный проток. Полость пузыря промывали несколько раз, затем заполняли бикарбонатным раствором Рингера. Приготовленный таким способом препарат быстро взвешивали на аналитических весах и помещали для инкубации в сосуд с аналогичным раствором. Некоторые опыты проведены на пузырях, которые предварительно выворачивали слизистой наружу и инкубировали в таком положении [3, 5]. Ионы HCO_3 в инкубационном растворе заменяли эквивалентным количеством ионов Cl. Наружный инкубационный раствор термостатировали при $37 \pm 0,5^\circ\text{C}$; через раствор, содержащий ионы HCO_3 , пропускали газовую смесь ($95\% \text{O}_2 \pm 5\% \text{CO}_2$), а раствор без HCO_3 насыщали $100\% \text{O}_2$; pH наружного раствора поддерживали на уровне 7,4 в течение всего инкубационного периода. Через каждые 15 мин инкубации пузыри взвешивали на аналитических весах и по изменению их веса судили о скорости переноса жидкости через стенку, выражая ее в $\text{мкл}/\text{ч} \cdot \text{см}^2$ поверхности органа. После инкубации пузыри разрезали, с поверхности убирали остатки жидкости плотной фильтровальной бумагой, измеряли площадь стенки и производили соксок эпителиального слоя на холода ($+2^\circ\text{C}$). Соксок гомогенизировали в соответствующей среде и затем определяли активность в нем HCO_3 -АТФазы и Na, K-АТФазы, как описано нами ранее [1, 2]. Состав бикарбонатного раствора Рингера для инкубации желчных пузырей был следующим (в ммолях): $\text{NaCl} = 15,5$; $\text{KCl} = 5,9$; $\text{CaCl}_2 = 2,5$; $\text{MgSO}_4 = 1,2$; $\text{NaH}_2\text{PO}_4 = 1,2$; глюкоза — 11,5; pH 7,4. Раствор для гомогенизации эпителия (в ммолях): $\text{Na} - \text{дезоксихолат} = 2,4$; ЭДТА — 2,5; трикс- $\text{HCl} = 40,0$; гистидин — 30,0; сахароза — 250,0; pH 7,4.

Регрессивная зависимость и активности лия желчи

По вертикали — скорость поверхности стенки пузыря АТФазы (в мкмоль P_1 в квадрате — без HCO_3 и с HCO_3)

При отсутствии HCO_3 наблюдалось снижение скорости на 62 %, при этом активность Na, K-АТФазы

Наиболее выраженного пузыря наблюдалось в инкубированного органа. Задержка жидкости уменьшилась активность Na, K-АТФазы на 32 %.

Скорость транспорта пузыря кролика и активность ионов HCO_3 в серозном

Исследуемые показатели

$J_{\text{H}_2\text{O}}$ (в $\text{мкл}/\text{ч} \cdot \text{см}^2$)

Na, K-АТФаза (в мкмоль $\text{P}_1/\text{ч} \cdot \text{мг}$)

HCO_3 -АТФаза (в мкмоль $\text{P}_1/\text{ч} \cdot \text{мг}$)

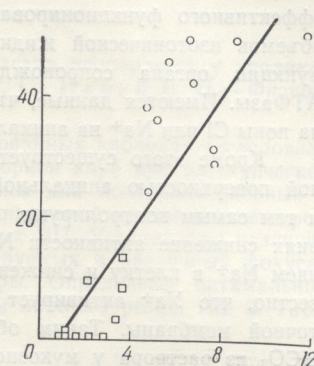
Примечание: а, б — достоверно на 0,01 и 0,001; цифры в скобках

Из данных приведенных в таблице видно, что активность в пузыре кролика через стенку пузыря хорошо выраженная поглощением ионов равен 0,876 промилле АТФазы и скорость транспорта механизма

Таким образом, реальная транспортная механизма

Результаты исследований

Отсутствие ионов HCO_3 в инкубационном растворе с одной или по обе стороны стенки изолированного желчного пузыря приводило к закономерному снижению всасывательной активности органа. Эффект удаления ионов наблюдался уже в первые 15 мин. Так, при отсутствии HCO_3^- в растворе со стороны серозной поверхности пузыря скорость транспорта жидкости из полости органа наружу уменьшалась в первые 15 мин на 13 %, а в последующие 45 мин — на 40 %. Примерно такое же (44,5 %) снижение активности HCO_3 -АТФазы наблюдали в клетках эпителия. Следует подчеркнуть, что активность Na, K -АТФазы не только не уменьшалась, но даже увеличивалась на 39,2 % (см. таблицу).



Регрессивная зависимость между скоростью транспорта жидкости и активностью HCO_3 -АТФазы клеток эпителия желчного пузыря кролика.

По вертикали — скорость всасывания жидкости, в мкл/1 ч · 1 см² поверхности стенки пузыря; по горизонтали: активность HCO_3 -АТФазы (в мкмоль $P_1 \cdot 1 \text{ мг белка} \cdot \text{ч}$). Кружки — контроль, квадраты — без HCO_3 у мукозной поверхности пузыря ($r=0,876$, $p<0,001$, $y=5,832x-4,598$).

При отсутствии ионов HCO_3 в растворе по обе стороны стенки пузыря происходило снижение скорости всасывания жидкости в течение последующего часа в среднем на 62 %, при этом активность HCO_3 -АТФазы уменьшалась в клетках на 34 %, а активность Na, K -АТФазы не изменялась.

Наиболее выраженное торможение процесса всасывания жидкости из полости желчного пузыря наблюдали при отсутствии ионов в растворе у мукозной поверхности изолированного органа. За первые 15 мин инкубации в этих условиях скорость всасывания жидкости уменьшилась на 48 %, а в последующие 45 мин — на 93 %. Одновременно активность HCO_3 -АТФазы и Na, K -АТФазы уменьшились соответственно на 75 и 32 %.

Скорость транспорта изотонической жидкости через стенку изолированного желчного пузыря кролика и активность АТФаз в клетках эпителия в контроле и при отсутствии ионов HCO_3 в серозном, мукозном или в обоих растворах одновременно в течение 1 ч ($M \pm m$)

Исследуемые показатели	Контроль		В серозном растворе без HCO_3		В мукозном и серозном растворах без HCO_3		В мукозном растворе без HCO_3	
	$J_{\text{H}_2\text{O}}$ (в мкл/ч · см ²)	P_i (мкмоль $\text{P}_1 \cdot \text{ч} \cdot \text{мг}$)	Na, K -АТФаза (в мкмоль $P_1 \cdot \text{ч} \cdot \text{мг}$)	HCO_3 -АТФаза (в мкмоль $P_1 \cdot \text{ч} \cdot \text{мг}$)	$J_{\text{H}_2\text{O}}$ (в мкл/ч · см ²)	P_i (мкмоль $\text{P}_1 \cdot \text{ч} \cdot \text{мг}$)	Na, K -АТФаза (в мкмоль $P_1 \cdot \text{ч} \cdot \text{мг}$)	HCO_3 -АТФаза (в мкмоль $P_1 \cdot \text{ч} \cdot \text{мг}$)
$J_{\text{H}_2\text{O}}$ (в мкл/ч · см ²)	38,0 ± 0,9 (11)	22,8 ± 1,6 (11)	48,4 ± 2,6 ^b (12)	14,8 ± 1,8 ^b (7)	3,4 ± 0,3 ^b (11)			
Na, K -АТФаза (в мкмоль $P_1 \cdot \text{ч} \cdot \text{мг}$)	6,3 ± 0,6 (11)	8,2 ± 0,7 ^a (11)	8, ± 0,8 (12)	8,0 ± 1,6 (6)	5,4 ± 0,8 ^a (11)			
HCO_3 -АТФаза (в мкмоль $P_1 \cdot \text{ч} \cdot \text{мг}$)	7,2 ± 0,6 (11)	4,0 ± 0,4 ^b (11)	6,8 ± 0,5 (11)	4,5 ± 0,5 ^b (6)	1,7 ± 0,3 ^b (11)			

Примечание: *a*, *b* — достоверность различий между контролем и опытом, соответственно 0,01 и 0,001; цифры в скобках — количество определений каждого показателя.

Из данных приведенных на рисунке, видно, что между скоростью переноса жидкости через стенку пузыря и активностью HCO_3 -АТФазы клеток эпителия существует хорошо выраженная положительная коррелятивная зависимость: коэффициент корреляции равен 0,876 при $p<0,001$. Коррелятивная связь между активностью Na, K -АТФазы и скоростью всасывания жидкости в этих условиях отсутствует.

Таким образом, результаты исследований дают основание считать, что в работе транспортного механизма, обеспечивающего трансепитиальный перенос изотонической

жидкости через стенку желчного пузыря, участвует HCO_3 -АТФаза клеток эпителия, активируемая ионами HCO_3 , главным образом, со стороны апикальных клеточных мембран (мукозная поверхность пузыря).

Обсуждение результатов исследований

Анализ полученных данных убеждает в том, что наличие ионов HCO_3 в растворе у мукозной поверхности стенки желчного пузыря является необходимым условием эффективного функционирования транспортного механизма, обеспечивающего перенос объемов изотонической жидкости из полости органа наружу. Падение транспортной функции органа сопровождается одновременно угнетением активности HCO_3 -АТФазы. Имеются данные, что этот фермент принимает участие в обмене ионов HCO_3 на ионы Cl^- или Na^+ на апикальной мембране эпителиоцитов [4, 7].

Кроме этого существует предположение, что ионы HCO_3 , контактируя с наружной поверхностью апикальной мембранны, повышают ее проницаемость для ионов Na^+ и тем самым контролируют поступление Na^+ в клетку [8]. Наблюдаемое в этих условиях снижение активности Na, K -АТФазы можно объяснить недостаточным поступлением Na^+ в клетку и снижением его активирующего влияния на фермент, так как известно, что Na^+ активирует Na, K -АТФазу со стороны внутренней поверхности клеточной мембранны. Таким образом можно объяснить тот факт, что удаление ионов HCO_3 из раствора у мукозной поверхности пузыря вызывает угнетение активности не только HCO_3 -АТФазы, но и Na, K -АТФазы, локализованной на противоположной (базальной) мембране клетки [6].

Удаление ионов HCO_3 со стороны серозной поверхности желчного пузыря, к которой прилегают базальные мембранны эпителиоцитов, не вызывает снижения активности Na, K -АТФазы. Это обусловлено, по-видимому, тем, что ионы HCO_3 не участвуют в ионообменных процессах на этой мембране и, следовательно, не влияют на внутреклеточный фонд натрия.

Таким образом, анализ результатов проведенных исследований позволяет заключить, что HCO_3 -АТФаза клеток эпителия желчного пузыря принимает участие в работе всасывающего механизма органа. При этом активность ферmenta зависит от наличия ионов HCO_3 во внеклеточной среде.

Список литературы

1. Яременко М. С., Бутусова И. А., Харламова О. Н. Участие Na, K -зависимой АТФазы в механизме действия окситоцина на транспорт изотонической жидкости эпителием желчного пузыря. — Физiol. журн. СССР, 1974, 60, № 10, с. 1592—1596.
2. Яременко М. С., Харламова О. Н. HCO_3 -АТФаза клеток эпителия желчного пузыря кролика. — Физiol. журн., 1978, 24, № 1, с. 67—71.
3. Diamond J. M. The mechanism of isotonic water transport. — J. Gen. Physiol., 1964, 48, N 1, p. 15—42.
4. Heintze K., Petersen K., Olles P. es al. Effects of bicarbonate on fluid and electrolyte transport by the guinea pig gall-bladder: a bicarbonate-chloride exchange. — J. Membrane Biol., 1979, 45, N 1/2, p. 43—59.
5. Machen T., Diamond J. M. An estimate of the salt concentration in the lateral intercellular spaces of rabbit gall-bladder during maximal fluid transport. — Ibid., 1969, 1, N 2, p. 194—213.
6. Mills J. M., Di Bona D. R. Distribution of Na^+ -pump sites in the frog gall-bladder. — Nature (London), 1978, 271, N 5642, p. 273—275.
7. Podesta R. B., Mettrick D. F. HCO_3 -transport in rat jejunum: relationship to NaCl and H_2O transport *in vivo*. — Amer. J. Physiol., 1977, 232, N 1, E 62—E 68.
8. Simon B., Kather H. Neue Aspekte des Bikarbonat-Transportes im exokrinen Pankreas. — Verh. Dtsch. Ges. inn. Med., 1975, 81, S. 1271—1273.

Институт физиологии им. А. А. Богомольца
АН УССР, Киев

Поступила в редакцию
20.04.81

УДК 612.82
Вызванные
при стимуляции
журн., 1981

В опе-
локализа-
стимуляци-
один ипси-
ца фокусы
в конфигу-
максимал-
параметры
1. Библио-

УДК 612.82
Вызванные
некоторые
1983, т. 29,

Предс-
в миндале
в ответ на
и альвеоля
областей с
са. Показа-
ВП в МК
контрлате
10 мс. По-
Разрушени-
редней лап-
нервов оста-
ВП делает-
пульсации

УДК 612.73:6
О механизме
гладкомыш-
ца М. Ф.—

С помо-
стие верапа-
ческие и со-
ных артерий
базальный
ческие свой-
верапамила
увеличением
гиперполяри-
ление полос-
ла и беска-
радреналин-
как внутри-
ного кальци-
бранны: поте-
каналов и г-
лов. Ил. 3. Б-